CCDカメラから推定したDNを用いた水質モニタリングについて

芝浦工業大学 正員 菅 和利 芝浦工業大学大学院 学員 佐藤允彦 芝浦工業大学大学院 学員 矢内祐一

1.はじめに

閉鎖水域での面的な水質モニタリングとして、デジタルカメラの画像解析手法について検討を行なってきた。閉鎖水域では船舶による定点観測、衛星画像を用いる手法などが実施されているが、情報の収集が簡易で、任意の時刻でのモニタリングを行なうことができる航空写真の活用を実際の湾内で検討を行なっている。係留気球にデジタルカメラを係留し、その撮影されている海面範囲を船舶で移動しながらその撮影されている海面範囲を船舶で移動しながらとの関連を分析し、推定モデルを作成した。対象とする水質項目はクロロフィルである。クロロフィルの分析では可視域の吸光度を用いるので、同じ可視域を対象とするデジタル画像のデジタルナンバー(DN)には水面のクロロフィル濃度が反映されている。

しかし、デジタルカメラの各画素に格納されるDNに水面のクロロフィル濃度によって異なる反射スペクトルが反映されているかの検討が行なわれていない。本研究では、実験室内でクロロフィル濃度とCCDカメラの各波長のCCD値を測定し、理論的に算定したDNとデジタル画像のDNとの関係について検討を行なった。

2.実験方法

外部の光を遮断した暗室内にクロロフィルが含まれた溶液を満たし、上方からデジタルカメラ、CCDカメラで撮影を行なった。水槽は高さ、径共に約80cmの大きさで、光源には太陽光に波長が最も近いとされるD65 蛍光ランプを用いた。CCDカメラにバリスペック液晶チューナブルフィルターをセットし、PC 操作によって可視域の720nm から400nmまでの波長域を5nm 刻みでCCD値を測定した。高感度冷却CCDカメラでは、CCDチップを冷却することにより、微弱な光をも蓄積して高感度な情報を数



図1液晶チューナブルフィルターとCCDカメラ

値で表すことが出来る。したがって、光を蓄積する

時間によってCCDの値が異なる。最初に白色板を水長で同じてCD値を表決した。 同じために必要なる。 間を測定した。この結果が図2であ

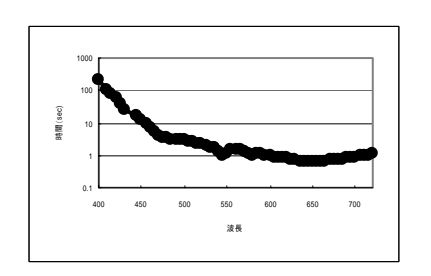


図2 各波長での蓄積時間

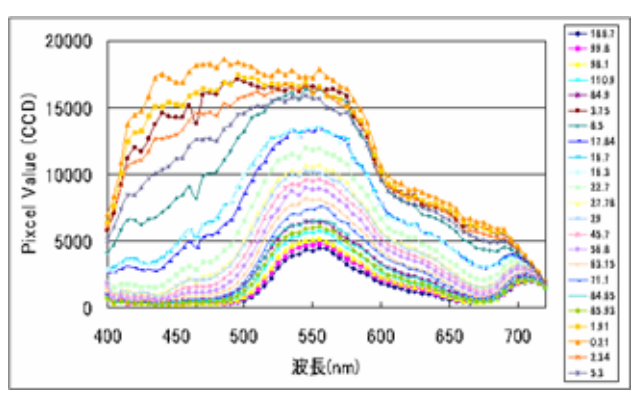


図3 各濃度、各波長でのCCD値 る。この時間を基にし、クロロフィル溶液を満たした水槽での各波長でのCCDを測定した。

各濃度、各波長でのCCD値の測定結果が図3である。図3から各濃度、各波長の反射率S_i()算定する。各濃度でのデジタルナンバーを次式で算定する。

$$DN_{i} = \alpha \int_{\lambda \min}^{\lambda \max} f_{i}(\lambda) S(\lambda) d\lambda$$
 (1)

キーワード:水質モニタリング、クロロフィル、デジタルカメラ、デジタルナンバー、CCD カメラ 芝浦工業大学工学部土木工学科水圏環境研究室 〒135-8548 東京都江東区豊洲 3-7-5 tel 03-5859-8362 f;(4 B 関 B と口をので、てィ象ので、てィ象ので、てィ象ののでのである。 とり 対め はったい はす 等 あ 水 ク ル に ほ

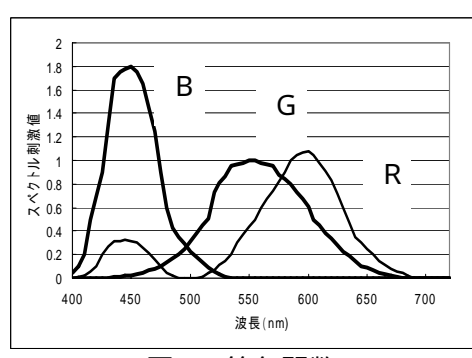


図 4 等色関数

うれん草をすりつぶして溶液を作成した。

3. 結果および考察

図3のCCD値を反射率に変換し、式(1)でDNを計算した。DNは1から255の数値であるので、反射率1(白色)でのDNが255になるように補正係数 =2.5とした。各濃度でのCCDカメラから算定したDNとデジタルカメラでのDNとの相関を示したのが図5である。BについてはR,Gと多少関数形を異にしているが、これは実験装置の影響と思われる。CCD値から変換のDNは理論的なDNであるが、図5に示すようにデジタルカメラでのDNと1:1の関係とはなっていない。R,Gについては傾きは1であるが、理論DNが小さく、反射率の計算について検討が必要である。しかし、一定の関係が有るので、この理論DNを用いてクロロフィル-aの水質推定式を検討した。

図 6 はデジタルカメラでのDN(R)とクロロフィル-a 濃度の対数との相関を、図 7 は理論DNとクロロフィル-a 濃度の対数との相関を示した図である。図 6 はデータのばらつきがあるが、図 7 の log(Chl-a)と理論DNとは直線関係を示している。G,Bについても同様であるので、log(Chl-a)と理論DNとの関係式を求めた。

光源等の影響を除去するため、三色係数を変数と した。

$$rf = \frac{R}{R+G+B}$$
 , $gf = \frac{G}{R+G+B}$, $bf = \frac{B}{R+G+B}$ (2)

しかし、通常の 閉鎖水域でのク

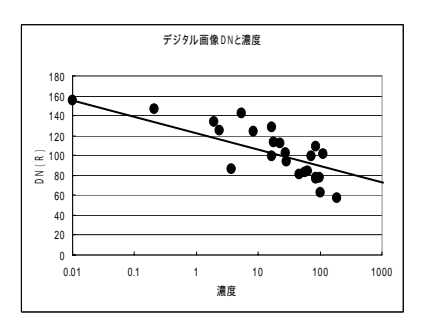


図6 DNとクロロフィル-a

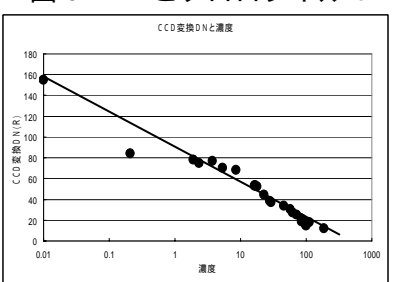


図7理論DNとクロロフィル-a

ロロフィル-a 濃度の範囲での適応性は十分である。

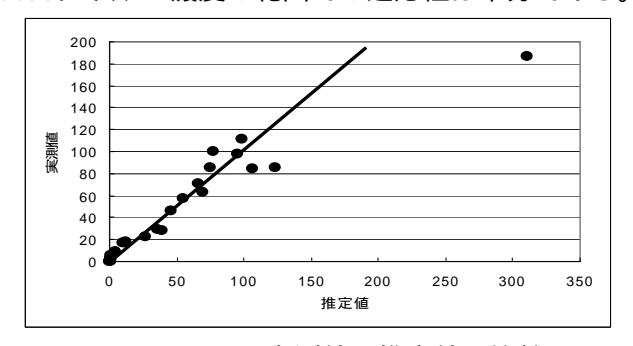
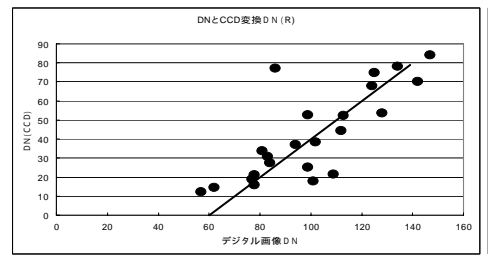


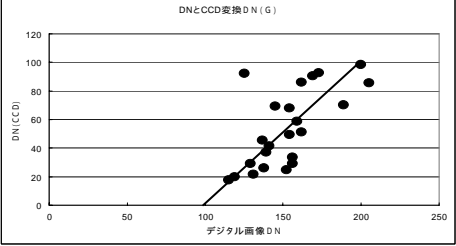
図8 実測値と推定値の比較

log(Chl) = 6.27rf + +43.91gf + 23.42bf - 25.72 (3) デジタルカメラで撮影した DN を式(3)に代入して クロロフィル-a 濃度を推定すると、全くオーダーの 異なる推定値となる。

図 5 の理論 D N とデジタルカメラからの DN の違いを補正すると、ある程度の精度での推定が可能である。

しかし、CCD値からDNに変換する際に、測定したCCD値を白板のCCD値で単純に割って反射率としたが、水面、水、溶液中のクロロフィル、実験装置の特性などが含まれており、反射率の算定についての検討が必要である。





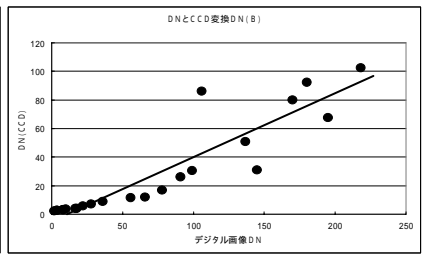


図 5 各濃度でのCCD値から変換のDNとデジタルカメラでのDN(R、G、B)